

II-120 開水路と管路とが共存する複雑な水路系のサージングについて

日本工営(株) 技術研究所 正会員 林憲吉
 " 土木部 ○ 広瀬典昭

1. 概要

都市内における工業用水の導水路は、開水路と管路とからなる複雑な水路系であることが多い。又、この場合、主水路となる開水路が暗渠であるような例が増えている。このような水路系においては、主水路の途中から管路によって取水されている使用水量が急変したことによって開水路内に生ずる波の大きさを知ることが必要となる。このような問題を計算で厳密にとくのは困難である。著者らは、このような水路系の一つのモデルを設定して、不定流の特性曲線法にもとづいた方法で解いてみた。この結果と実験によって得た結果とを比較検討してみたのでこれを報告する。

2. 水路モデル

計算及び実験に用いられた水路モデルは図1、図2に示されるようである。水路は主水路である開水路と、サージタンクを有する管路からなっている。計算においては図2にみられるように、水路を4つのモデルを組み合わせたものとして考えている。

図1 水路モデル 主水路縦断図 開水路粗度係数 0.014
 " 勾配 1/10.000

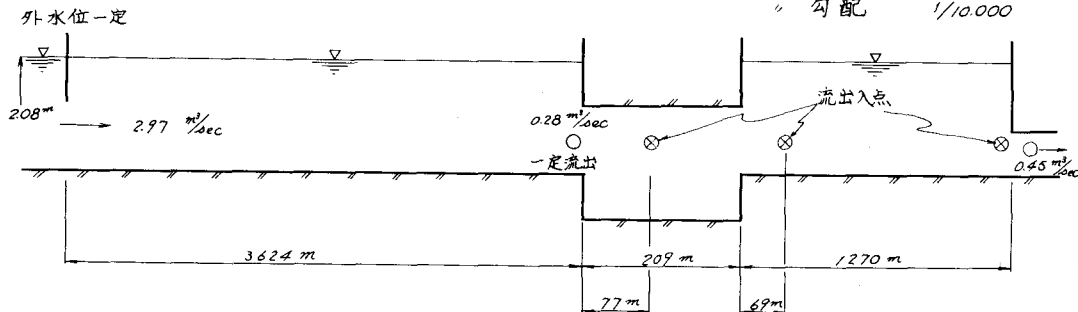
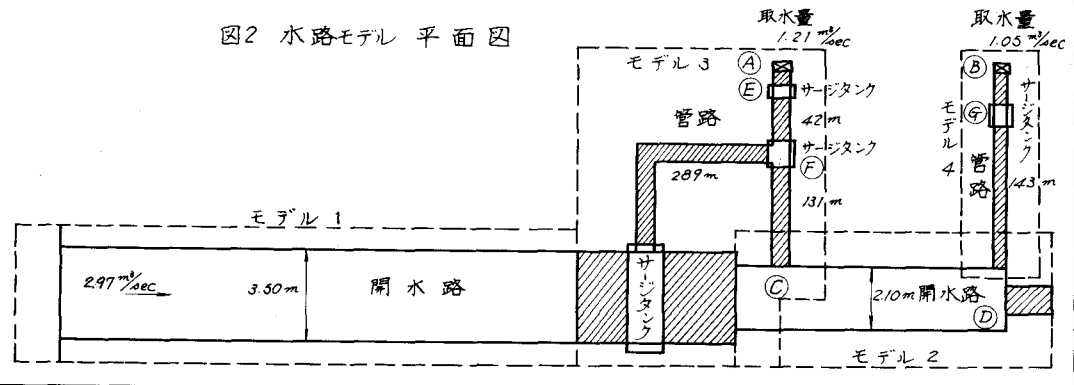


図2 水路モデル 平面図



3. 相似律および模型

本実験の対象とする木路系は、開水路と管路とが共存するものである。このような木路系における不定流の力学的相似律を考える場合には、開水路と管路流とのそれぞれの部分における力学的相似条件を満足させ、更に両者について流量、水位変動、時間および結合部分等の関係を一致させなければならぬ。これらの問題については紙面の都合でこゝでは説明を省略するので次の文献を参照されたい。（林泰造教授「非定常流の相似律」日本学術会議 流体模型実験における相似律セミナー前刷集 昭和41年11月19日）

模型縮尺は相似律を検討した結果、水路中および高さを1/10とし水路長さを1/10とした。従って模型寸法は代表断面で水路中 0.233m、高さ 0.133mとなり、木路全長は 100m 程度のものである。

4. 計算方法

a. 開水路の不定流 横流入量のある開水路の基本式は次のようになる。

$$\frac{\partial A}{\partial t} + \frac{\partial(AU)}{\partial x} = \frac{\partial I}{\partial x} \quad \dots \dots \dots (1)$$

$$\text{運動方程式} \quad \frac{\partial U}{\partial t} + U \frac{\partial U}{\partial x} = g(j - \frac{n^2 U^2}{R^2}) \quad \dots \dots \dots (2)$$

ここに A : 流積 U : 断面における平均流速 x : 木路に沿った距離 t : 時間

I : 横流入量 j : 水面勾配 n : 粗度係数 R : 径深

一様な矩形断面水路において上式から特性曲線式をみちびくと、

$$\frac{dx}{dt} = U \pm \sqrt{gH} \quad \dots \dots \dots (3)$$

$$d(U \pm \sqrt{gH}) = g(j - \frac{n^2 U^2}{R^2} \pm \frac{g}{\sqrt{gH}}) dt \quad \dots \dots \dots (4)$$

ここに H : 水深 B : 水路中 i : 水路勾配 ϑ : 単位長さあたりの横流入量

本モデルでは 上下端の境界条件及び横流入出量が時間とともに変化するので、各時間ごとの全水路における水面形及び、木路途中の特定な点における流れの状態もわかつていなければならない。

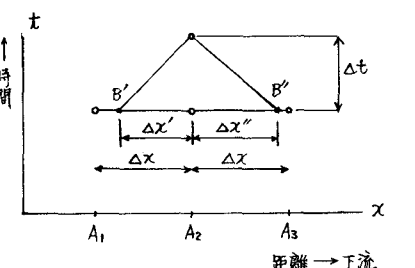
したがって時間と距離とを軸にとって座標系において、その各格子点における水深、流速を知る必要がある。このため著者らは次のように近似解法を考えた。

右図において、等間隔にある地点 A_1, A_2, A_3 の流速 U 、波速 V がわかっているとき Δt 時間後の A_2 地点の波 U, V を求めることを考える。 A_1 と A_2 の中間の B' 点から出た波と、 A_2 と A_3 の中間から出た波が Δt 秒後に A_2 点で衝突するものとする。 A_1, A_2, A_3 地点の (U, V) をそれぞれ $(U_1, V_1), (U_2, V_2), (U_3, V_3)$ とする。又、 B', B'' 地点における (U, V) を $(U', V'), (U'', V'')$ とし、 $A_1 A_2$ 間、 $A_2 A_3$ 間の距離を Δx 、 $B'A_2$ 間、 $A_2 B''$ 間の距離をそれぞれ、 $\Delta x', \Delta x''$ とする。ここで、 $A_1 A_2$ 間及び $A_2 A_3$ 間では、 U, V とも直線変化するものと仮定すると、 (U', V') 及び (U'', V'') はそれぞれ次のようにあらわされる。

$$U' = \frac{\Delta x'}{\Delta x} (U_1 - U_2) + U_2 \quad \dots \dots \dots (5) \qquad U'' = \frac{\Delta x''}{\Delta x} (U_3 - U_2) + U_2 \quad \dots \dots \dots (7)$$

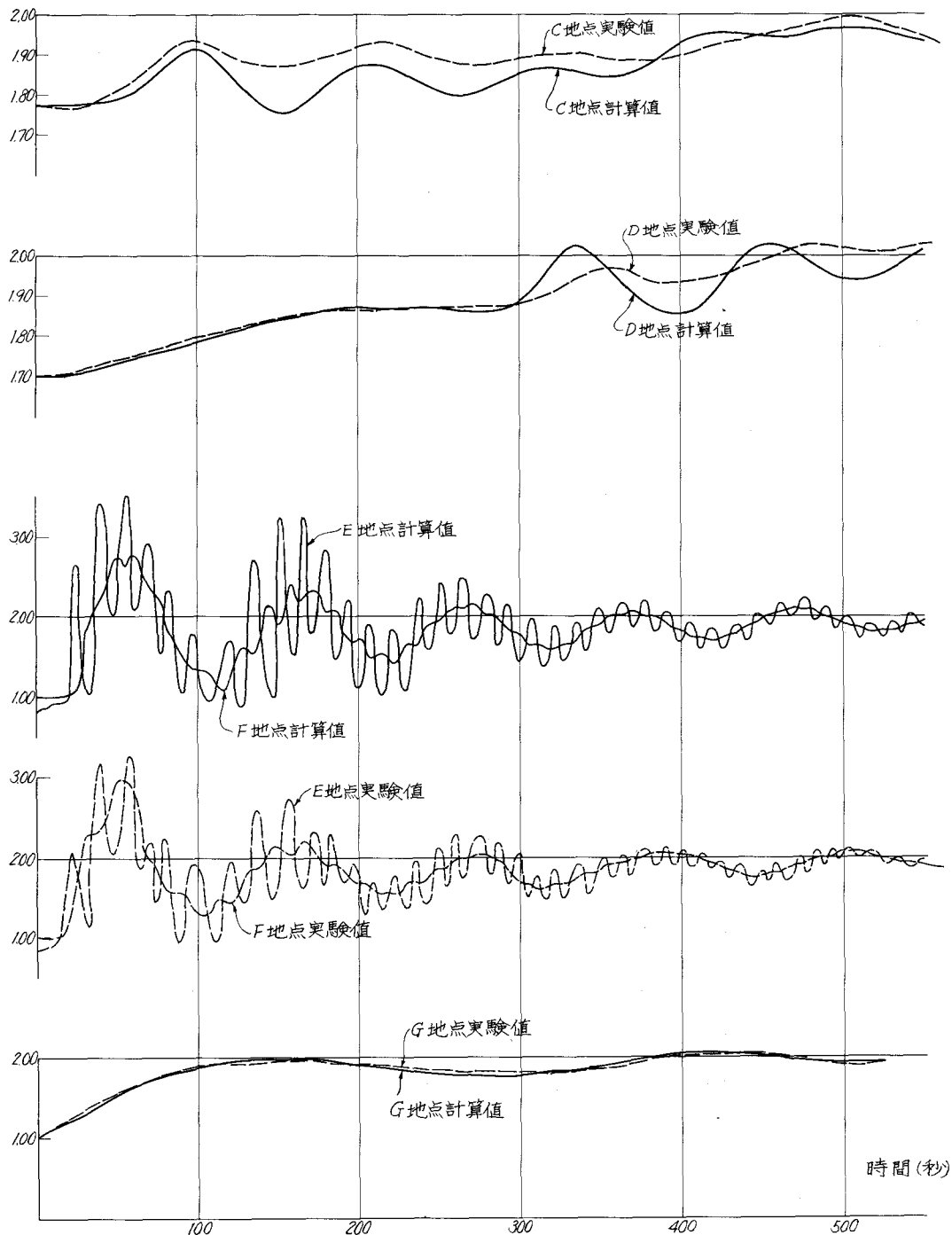
$$V' = \frac{\Delta x'}{\Delta x} (V_1 - V_2) + V_2 \quad \dots \dots \dots (6) \qquad V'' = \frac{\Delta x''}{\Delta x} (V_3 - V_2) + V_2 \quad \dots \dots \dots (8)$$

したがって (3), (4), (5), (6) 式を連立してとけば、 B' から出た、水路の勾配と摩擦によって、又もしあれば横流入出によって、変化して A_2 点に到達した波 (U_e, V_e) を求めることができます。



水位 (m)

図 3 各地点の水位変動図



同様に B_2 から出て変化して A_2 に到達した波 (U_v, V_v) も求めることができる。 A_2 点に生ずる新しい波

$$(U, V) \text{ は } U + 2V = U_v + 2V_v \quad \dots \dots \dots (9)$$

$$U - 2V = U_v - 2V_v \quad \dots \dots \dots (10)$$

によって求められる。

b) 管路のサーボング モデル3とモデル4における管路のサーボングの問題は、管路が開水路と連結している地点での開水路の水位を一定と考えれば、普通のサーボタンクの計算と同じである。

c) 計算手順

i) 不定流計算では、50mごとに断面をとり、時間間隔は10秒とする。

ii) サーボタンクの計算は時間間隔を1秒にする。

iii) 不定流計算とサーボタンクの計算は次のようにして組合わせる。

①最初の10秒間は、初期条件の水面高を用いてサーボタンクの計算をする。この10秒間には開水路の水面変化はないものとする。10秒目の開水路への流入量を g_1, g_2, g_3, g_4 とする。

②このときはまだ開水路水面にはサーボングはおこっていないものとして、次の10秒間のサーボタンクの計算にも初期条件の水深を用いる。

③開水路不定流は①で求められた g_1, g_2, g_3, g_4 を用いて20秒目の水路水面形をもとめる。

④20~30秒では、サーボタンクの計算は水路水面高として③で求められたものを用いる。

不定流の計算の境界条件としては、④で求められた水路への流入量を用いる。

⑤以下同様にして、所定の時間まで計算をくり返す。

5. 実験と計算との比較

上述の不定流計算と管路のサーボングを組み合わせた方法で、computer によって各地点の水位流量変化を計算してみた。計算に用いられた数値は図1、図2にみられるようであり、A, B点における取水量を10秒間で直線的に遮断したものとした。この計算結果を検証するために、前述の実験設備を作成し、各地点の水位、流量変化を測定した。

C~G地点の水位変動の実験値と計算値を図示すると図3のようになる。これによれば、サーボタンクの水位変動は周期に多少のずれがあるが、比較的よい結果を示している。開水路部では、水位変動が小さいので比較しにくいが、横流出入点ではよく傾向をあらわしているようである。

6. 考察

上述のような複雑な水路系におけるサーボングの現象を計算によって表現できることが確かめられた。特に問題となる横流出入点での水位変動もよく傾向をあらわしているようである。サーボタンク部の計算では、開水路の水位変動がゆるやかであるので、計算依存(不定流計算の1時間隔10秒の間は開水路水位は変わらない)による誤差が小さく実験値とかなりよい相関を示している。しかし、不定流の計算依存からあきらかのように、波の伝播速度に若干の誤差があらわれるので、全体に変動周期に多少のずれがあらわれている。これは断面間隙と時間間隙とを調整することによって、ある程度は改善しうるものである。